

Starkniederschlagshöhen und -spenden gemäß KOSTRA-DWD-2010R

Auswertungszeitraum von 1951 - 2010, Januar - Dezember

Rasterfeld: 29040

Zeile: 29

Spalte: 40

Seite: 1/2

| Dauerstufe D | Wiederkehrzeit T | | | | | | | | | | | | | | | | | | |
|--------------|------------------|------|------------|------|------------|------|------------|------|------------|------|------------|------|------------|------|------------|------|------------|------|------------|
| | 1 a | | 2 a | | 3 a | | 5 a | | 10 a | | 20 a | | 30 a | | 50 a | | 100 a | | |
| min | Std | mm | l / (s ha) | mm | l / (s ha) | mm | l / (s ha) | mm | l / (s ha) | mm | l / (s ha) | mm | l / (s ha) | mm | l / (s ha) | mm | l / (s ha) | mm | l / (s ha) |
| 5 | | 5,1 | 170,0 | 6,3 | 210,0 | 7,1 | 236,7 | 8,0 | 266,7 | 9,2 | 306,7 | 10,4 | 346,7 | 11,1 | 370,0 | 12,0 | 400,0 | 13,3 | 443,3 |
| 10 | | 7,9 | 131,7 | 9,7 | 161,7 | 10,8 | 180,0 | 12,1 | 201,7 | 14,0 | 233,3 | 15,8 | 263,3 | 16,8 | 280,0 | 18,2 | 303,3 | 20,0 | 333,3 |
| 15 | | 9,7 | 107,8 | 12,0 | 133,3 | 13,3 | 147,8 | 15,0 | 166,7 | 17,3 | 192,2 | 19,6 | 217,8 | 20,9 | 232,2 | 22,6 | 251,1 | 24,9 | 276,7 |
| 20 | | 10,9 | 90,8 | 13,6 | 113,3 | 15,2 | 126,7 | 17,2 | 143,3 | 19,9 | 165,8 | 22,6 | 188,3 | 24,1 | 200,8 | 26,1 | 217,5 | 28,8 | 240,0 |
| 30 | | 12,5 | 69,4 | 15,9 | 88,3 | 17,9 | 99,4 | 20,4 | 113,3 | 23,8 | 132,2 | 27,2 | 151,1 | 29,1 | 161,7 | 31,6 | 175,6 | 35,0 | 194,4 |
| 45 | | 13,8 | 51,1 | 18,1 | 67,0 | 20,6 | 76,3 | 23,7 | 87,8 | 28,0 | 103,7 | 32,3 | 119,6 | 34,8 | 128,9 | 37,9 | 140,4 | 42,2 | 156,3 |
| 60 | | 14,6 | 40,6 | 19,6 | 54,4 | 22,6 | 62,8 | 26,3 | 73,1 | 31,3 | 86,9 | 36,3 | 100,8 | 39,3 | 109,2 | 43,0 | 119,4 | 48,0 | 133,3 |
| 90 | | 15,9 | 29,4 | 21,1 | 39,1 | 24,2 | 44,8 | 28,0 | 51,9 | 33,3 | 61,7 | 38,5 | 71,3 | 41,6 | 77,0 | 45,4 | 84,1 | 50,7 | 93,9 |
| 120 | 2 | 16,9 | 23,5 | 22,3 | 31,0 | 25,4 | 35,3 | 29,4 | 40,8 | 34,8 | 48,3 | 40,2 | 55,8 | 43,3 | 60,1 | 47,3 | 65,7 | 52,7 | 73,2 |
| 180 | 3 | 18,4 | 17,0 | 24,0 | 22,2 | 27,3 | 25,3 | 31,4 | 29,1 | 37,0 | 34,3 | 42,6 | 39,4 | 45,9 | 42,5 | 50,0 | 46,3 | 55,6 | 51,5 |
| 240 | 4 | 19,5 | 13,5 | 25,3 | 17,6 | 28,7 | 19,9 | 32,9 | 22,8 | 38,7 | 26,9 | 44,5 | 30,9 | 47,8 | 33,2 | 52,1 | 36,2 | 57,8 | 40,1 |
| 360 | 6 | 21,2 | 9,8 | 27,3 | 12,6 | 30,8 | 14,3 | 35,2 | 16,3 | 41,2 | 19,1 | 47,2 | 21,9 | 50,7 | 23,5 | 55,1 | 25,5 | 61,2 | 28,3 |
| 540 | 9 | 23,1 | 7,1 | 29,4 | 9,1 | 33,0 | 10,2 | 37,6 | 11,6 | 43,9 | 13,5 | 50,2 | 15,5 | 53,8 | 16,6 | 58,4 | 18,0 | 64,7 | 20,0 |
| 720 | 12 | 24,6 | 5,7 | 31,0 | 7,2 | 34,8 | 8,1 | 39,5 | 9,1 | 45,9 | 10,6 | 52,4 | 12,1 | 56,1 | 13,0 | 60,9 | 14,1 | 67,3 | 15,6 |
| 1080 | 18 | 26,7 | 4,1 | 33,4 | 5,2 | 37,4 | 5,8 | 42,3 | 6,5 | 49,0 | 7,6 | 55,7 | 8,6 | 59,6 | 9,2 | 64,6 | 10,0 | 71,2 | 11,0 |
| 1440 | 24 | 28,4 | 3,3 | 35,3 | 4,1 | 39,3 | 4,5 | 44,4 | 5,1 | 51,3 | 5,9 | 58,2 | 6,7 | 62,2 | 7,2 | 67,3 | 7,8 | 74,2 | 8,6 |
| 2880 | 48 | 36,2 | 2,1 | 43,2 | 2,5 | 47,2 | 2,7 | 52,4 | 3,0 | 59,3 | 3,4 | 66,2 | 3,8 | 70,3 | 4,1 | 75,4 | 4,4 | 82,4 | 4,8 |
| 4320 | 72 | 41,8 | 1,6 | 48,8 | 1,9 | 52,8 | 2,0 | 58,0 | 2,2 | 64,9 | 2,5 | 71,9 | 2,8 | 76,0 | 2,9 | 81,1 | 3,1 | 88,1 | 3,4 |

Angaben in mm: Bemessungsniederschlagswerte h(n)

Angaben in l / (s ha): Regenspende R(n) mit $R(n) = h(n) \times 1,666667 / D[\text{min}]$

Toleranzbereiche:

+/- 10 % für $1 \text{ a} \leq T \leq 5 \text{ a}$

+/- 15 % für $5 \text{ a} < T \leq 50 \text{ a}$

+/- 20 % für $50 \text{ a} < T \leq 100 \text{ a}$

Datenbasis: KOSTRA-DWD-2010R des Deutschen Wetterdienstes. Die Regenspende wurde auf Basis des Bemessungsniederschlags zur jeweiligen Andauer berechnet.

Für die Richtigkeit und Aktualität der Angaben wird keine Gewähr übernommen. Erstellt 07/2022.

Starkniederschlagshöhen und -spenden gemäß KOSTRA-DWD-2010R

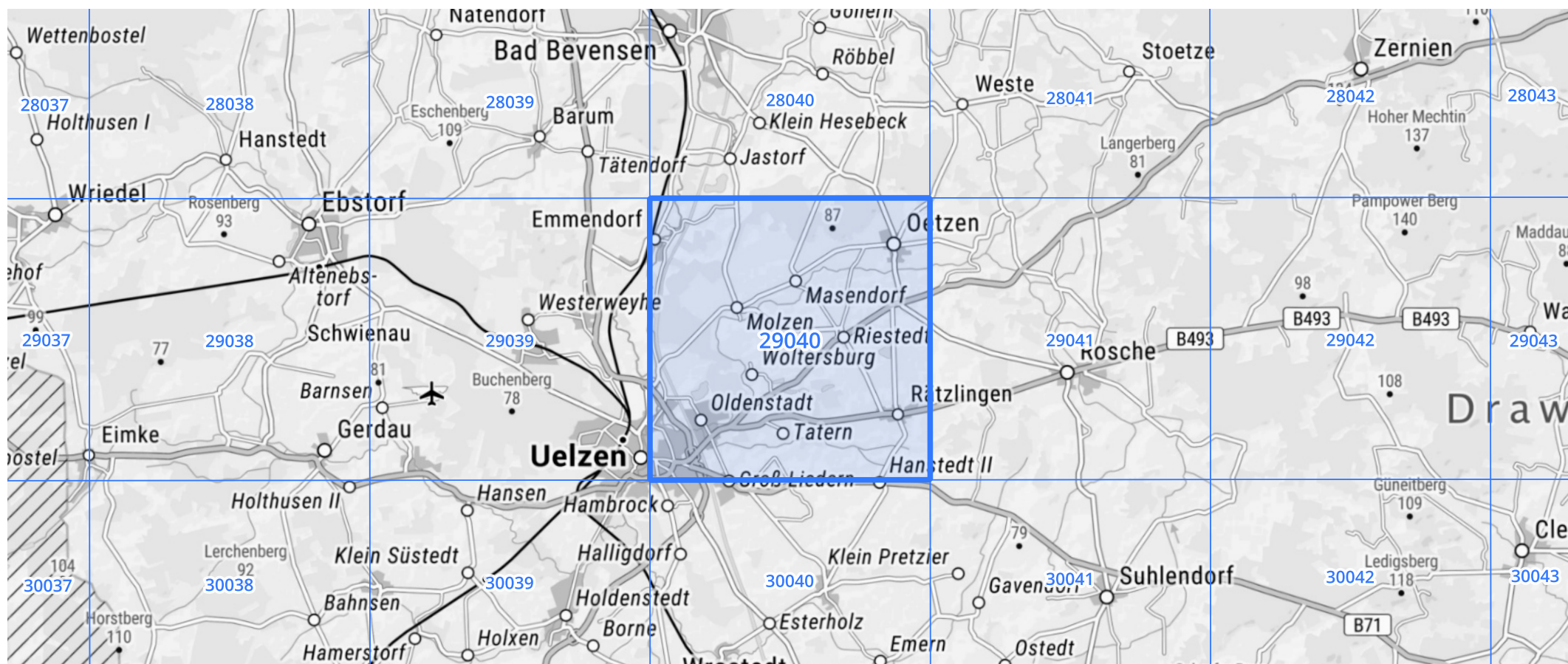
Auswertungszeitraum von 1951 - 2010, Januar - Dezember

Rasterfeld: 29040

Zeile: 29

Spalte: 40

Seite: 2/2



Quelle Rasterdaten: KOSTRA-DWD-2010R des Deutschen Wetterdienstes.

Kartendarstellung: © Bundesamt für Kartographie und Geodäsie (2022), Datenquellen: https://sgx.geodatenzentrum.de/web_public/gdz/datenquellen/Datenquellen_TopPlusOpen.html

Für die Richtigkeit und Aktualität der Angaben wird keine Gewähr übernommen. Erstellt 07/2022.